

## Werk

**Titel:** Halbierungssätze zur Gestaltabweichung ebener Figuren

**Autor:** STAMMLER, LUDWIG; WEISSBACH, BERNULF

**Jahr:** 1979

**PURL:** [https://resolver.sub.uni-goettingen.de/purl?301416052\\_0008|log9](https://resolver.sub.uni-goettingen.de/purl?301416052_0008|log9)

## Kontakt/Contact

[Digizeitschriften e.V.](#)  
SUB Göttingen  
Platz der Göttinger Sieben 1  
37073 Göttingen

✉ [info@digizeitschriften.de](mailto:info@digizeitschriften.de)

## Halbierungssätze zur Gestaltabweichung ebener Figuren

LUDWIG STAMMLER und BERNULF WEISSBACH

### 1. Übersicht über Begriffsbildungen und Ergebnisse

In manchen Anwendungen von Bedeutung, aber auch geometrisch für sich interessant ist die Frage nach einer auf Flächenbetrachtung basierenden Definition und Ermittlung der Abweichung einer ebenen Figur  $M$  von der „Gestalt“ einer anderen Figur  $K_0$ , z. B. von der „Kreisgestalt“.

Zu derartigen Anwendungen gehört (vgl. etwa [2, 4]) die Gestaltanalyse von Netzmaschen in Auszählnetzen zur statistischen Gewinnung von Häufigkeitsmustern. Dabei erwies es sich als naheliegend (vgl. z. B. [3]), als Abweichung einer Figur  $M$  von der Gestalt einer Figur  $K_0$  den *minimalen Flächeninhalt* zu definieren, den die *symmetrische Differenz*  $F = (M \cup K) \setminus (M \cap K)$  zwischen  $M$  und einer zu  $K_0$  ähnlichen Figur  $K$  annehmen kann.

Ein Ziel der vorliegenden Arbeit ist es, *Halbierungssätze* anzugeben, das sind Kriterien für minimales  $F$  in Gestalt einer folgendermaßen definierten „Parameterhalbierung“: Wenn  $K$  eine Randkurve besitzt, dargestellt durch einen Parameter  $t$ , der ein Intervall endlicher Länge  $T$  durchläuft, so erfüllt  $K$  die Bedingung der „Parameterhalbierung“ durch  $M$ , wenn die Menge der Parameterwerte  $t$  aller außerhalb  $M$  gelegenen Randkurvenpunkte von  $K$  das Maß  $\frac{1}{2} T$  hat. Ist der Parameter  $t$  die

Bogenlänge, so ist die „Parameterhalbierung“ eine *Umfangshalbierung*; ist  $t$  der Flächeninhalt eines Sektors aus  $K$  mit gegebenem Zentrum  $Z$  zwischen festem Anfangsstrahl und umlaufendem variablem Strahl, so sei die „Parameterhalbierung“ auch „*Sektorenhalbierung*“ genannt, und wir bezeichnen dann  $Z$  als ein *Halbierungszentrum* von  $K$  bezüglich  $M$ .

Diese Halbierungsbedingungen kann man noch abschwächen zu Forderungen z. B. folgender Art: Aus der Menge aller zu  $K_0$  ähnlichen Figuren werde nur eine einparametrische Schar  $S$  herausgegriffen, für jeden Wert  $s$  des Scharparameters sei die Randkurve der zugehörigen Figur  $K(s) \in S$  dargestellt mit Hilfe desselben Parameters  $t$ , und es sei  $m(s)$  das Maß der Menge der Parameterwerte  $t$  aller außerhalb  $M$  gelegenen Randkurvenpunkte von  $K(s)$ . Dann erfüllt  $K(s^*) \in S$  eine *abgeschwächte Bedingung* der „Parameterhalbierung“ durch  $M$ , wenn  $m(s) < \frac{1}{2} T$  für alle  $s < s^*$ , aber  $m(s) \geq \frac{1}{2} T$  für alle  $s > s^*$  gilt.

Als einen ersten Halbierungssatz zeigen wir in Abschnitt 2:

**Satz 1.** *Hat ein Kreis  $K$  mit einem Polygon  $M$  minimale symmetrische Differenz  $F$ , so wird  $K$  durch  $M$  umfangshalbiert.*

Bei Kreisen erweist sich also Polygonen gegenüber die Umfangshalbierung als notwendiges Kriterium für minimales  $F$ , und zwar bereits innerhalb konzentrischer Kreisscharen  $S$ . Einfache Beispiele zeigen auch, daß sie nicht hinreichend ist, nicht einmal bei Einschränkung auf konzentrische Kreisscharen. Dementsprechend wird zu Satz 1 ein lokaler Beweis gegeben, d. h. die Umfangshalbierung aus stationärem Verhalten von  $F$  (als Funktion des Radius  $s$ ) hergeleitet.

Für weitere Halbierungssätze werden in Abschnitt 3 sowohl  $M$  als auch  $K_0$  als *Ovale* (konvexe, beschränkte, abgeschlossene, zweidimensionale Punktmenge) vorausgesetzt. Die Frage nach minimalem  $F$  wird eingeschränkt auf die Schar  $S$  aller  $K(s)$ , die aus einem zu  $K_0$  ähnlichen Oval  $K(1)$  durch Streckung mit jeweils positiven Streckfaktoren  $s$  und mit einem gemeinsamen inneren Punkt  $Z$  von  $K(1)$  und  $M$  als Streckzentrum entstehen (kurz: auf die zu  $K(1)$  *positiv  $Z$ -homothetische* Schar  $S$ ):

**Satz 2.** *Genau dann hat ein Oval  $K(s^*)$  innerhalb einer positiv  $Z$ -homothetischen Schar  $S$  minimale symmetrische Differenz mit einem Oval  $M$ , wenn  $Z$  in abgeschwächtem Sinn ein Halbierungszentrum von  $K(s^*)$  bezüglich  $M$  ist.*

Bei Einschränkung auf  $S$  erweist sich also die Sektorenhalbierung als notwendiges und hinreichendes Kriterium für minimale symmetrische Differenz  $F$ . Dies wird in Abschnitt 3 so bewiesen, daß zunächst die Existenz genau eines  $s^*$  mit abgeschwächter Parameter- (= Sektoren-) Halbierung gezeigt wird und daß sich dann sogar herleiten läßt: Im Intervall  $(0, s^*]$  ist  $F$  streng monoton fallend, im Intervall  $[s^*, +\infty)$  streng monoton steigend.

Speziell für konzentrische Kreisscharen  $S$  um  $Z$  stimmt die Sektorenhalbierung mit der Umfangshalbierung überein, womit das Auftreten der Umfangshalbierung (als Kriterium für minimales  $F$ , z. B. in Satz 1 gegenüber Polygonen  $M$ ) bei Kreisen  $K$  durchsichtiger motiviert ist. (Freilich erfaßt Satz 1 auch nichtkonvexe Polygone  $M$ .) Ferner bietet Satz 2 folgende allgemeinere Anwendungsmöglichkeiten: Für zwei gegebene Ovale  $M$  und  $K$  sei der Einfachheit halber vorausgesetzt, daß die Randkurven nur endlich viele Schnittpunkte miteinander haben. (Diese Einschränkung des *endlichen Ränderdurchschnitts* läßt sich noch abschwächen, doch sei auf die hierfür erforderlichen Untersuchungen vorerst verzichtet.) Dann ist, wie man leicht zeigt (s. Abschnitt 4), die Menge  $H$  aller Halbierungszentren von  $K$  bezüglich  $M$  gleich dem Durchschnitt des Inneren  $J$  von  $M \cap K$  mit einer *linearen Mannigfaltigkeit*, d. h.,  $H$  ist leer oder ein Punkt oder eine  $J$  durchquerende Strecke oder *ganz  $J$* . Daher gilt z. B.:

**Satz 3.** *Genau dann hat ein Oval  $K$  unter allen ihm positiv aus inneren Zentren ( $Z \in J$ ) homothetischen Ovalen minimale symmetrische Differenz zu einem Oval  $M$ , mit dem es endlichen Ränderdurchschnitt hat, wenn  $K$  drei nichtkollineare Halbierungszentren bezüglich  $M$  besitzt.*

Speziell im Fall des Kreises  $K$  ist damit eine für *in dreiparametrischer Schar minimale* symmetrische Differenz zu  $M$  *notwendige und hinreichende* Bedingung gefunden. Sie läßt sich bereits recht gut für vorgegebene  $M$  zur Gewinnung konkreter Einzelergebnisse verwenden, worauf im Rahmen der vorliegenden Arbeit nicht mehr eingegangen werden soll. Man kann dabei zuweilen auch andere Hilfsmittel heranziehen, z. B. einen Satz von DINGHAS [1], aus dem hervorgeht, daß  $F$  nicht vergrößert wird, wenn  $M$  und  $K$  gleichzeitig an ein und derselben Geraden im Sinne STEINERS symmetrisiert werden. Hiernach genügt es, falls  $M$  eine Symmetrieachse besitzt, nur deren Punkte als Mittelpunkte von  $K$  zu betrachten.

Auch auf weitere Verallgemeinerungsfragen, etwa nach Halbierungssätzen auf der Kugeloberfläche (wie z. B. in [2, 4] benötigt), allgemeiner in nichteuklidischen und in höherdimensionalen Räumen, sei hier nicht mehr eingegangen.

**2. Der Halbierungssatz für symmetrische Differenz zwischen Polygon und Kreis**

Es sei  $M$  ein Polygon,  $Z$  das Zentrum einer Kreisschar  $S$ , und zwar jeweils  $K(s)$  die Kreisfläche um  $Z$  mit dem Radius  $s (> 0)$ . Der Flächeninhalt von  $(M \cup K(s)) \setminus (M \cap K(s))$  sei  $F(s)$ . Für  $\varepsilon \neq 0$  mit genügend kleinem  $|\varepsilon|$  sei  $A(\varepsilon) := F(s + \varepsilon) - F(s)$  gesetzt. Um Satz 1 zu beweisen, genügt es zu zeigen: Wenn  $\lim_{\varepsilon \rightarrow 0} A'(\varepsilon) = 0$  ist, so wird  $K(s)$  durch  $M$  umfangshalbiert.

Haben die Randkurven von  $M$  und  $K(s)$  keine gemeinsamen Punkte und ist  $|\varepsilon|$  genügend klein, so ist mit einem geeigneten Vorzeichen  $\vartheta \in \{1, -1\}$

$$A(\varepsilon) = \vartheta \pi \cdot ((s + \varepsilon)^2 - s^2),$$

also  $\lim_{\varepsilon \rightarrow 0} A'(\varepsilon) \neq 0$ , und der behauptete Schluß ist (leer, also) richtig.

Existieren gemeinsame Punkte, so sei zunächst angenommen, daß sich die Randkurven von  $M$  und  $K(s)$  in allen ihren gemeinsamen Punkten durchsetzen. Der Rand  $k(s)$  von  $K(s)$  wird dann durch diese Punkte in eine gerade Anzahl  $2n$  offener Bögen  $b_i$  zerlegt, die abwechselnd innerhalb und außerhalb von  $M$  liegen. Ist  $|\varepsilon|$  genügend klein, so zerlegen die im Kreisring  $R$  zwischen  $k(s)$  und  $k(s + \varepsilon)$  gelegenen Teilstrecken des Randes von  $M$  diesen Ring ebenfalls in  $2n$  Gebiete  $L_i$ , die abwechselnd innerhalb und außerhalb von  $M$  liegen, etwa  $L_1, L_3, \dots$  innerhalb  $M$ , aber  $L_2, L_4, \dots$  außerhalb  $M$ ; dabei sei jeweils  $b_i$  im Rand von  $L_i$  enthalten ( $i = 1, \dots, 2n$ ) (Abb. 1). Dann ist mit  $\eta := \text{sgn } \varepsilon$

$$A(\varepsilon) = \eta \cdot \sum_{k=1}^n (L_{2k} - L_{2k-1}).$$

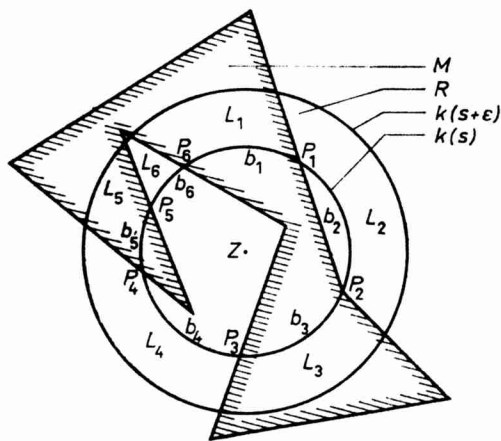


Abb. 1

Im Sinne der Umlaufung  $b_1, b_2, \dots$  habe jeweils  $b_i$  den Endpunkt  $P_i$ , und es sei  $r_i$  die in radialer Richtung von  $P_i$  ausgehende,  $R$  durchquerende Strecke. Diese Strecke und die ebenfalls bei  $P_i$  beginnende Grenzstrecke  $q_i$  zwischen  $L_i$  und  $L_{i+1}$  schließen zusammen mit einem Teilbogen  $c_i$  von  $k(s + \varepsilon)$  ein (möglicherweise zu  $\emptyset$  entartetes) dreieckiges Flächenstück  $D_i$  ein ( $i = 1, \dots, 2n$ ;  $L_{2n+1} := L_1$ ) (Abb. 2). Dabei liegt jeweils  $D_i$ , wenn  $|\varepsilon|$  genügend klein ist, entweder ganz in  $L_i$  oder ganz in  $L_{i+1}$ , und die  $D_i$  sind paarweise disjunkt. Schließlich bezeichne  $\alpha_i$  den Zentriwinkel zu  $b_i$ .

Dann gilt mit geeigneten Vorzeichen  $e_i \in \{1, -1\}$

$$L_{2k} = \frac{1}{2} \eta \cdot ((s + \varepsilon)^2 - s^2) \cdot \alpha_{2k} + e_{2k} D_{2k} + e_{2k-1} D_{2k-1},$$

$$L_{2k-1} = \frac{1}{2} \eta \cdot ((s + \varepsilon)^2 - s^2) \cdot \alpha_{2k-1} - e_{2k-1} D_{2k-1} - e_{2k-2} D_{2k-2}$$

$$(k = 1, \dots, n, D_0 := D_{2n}),$$

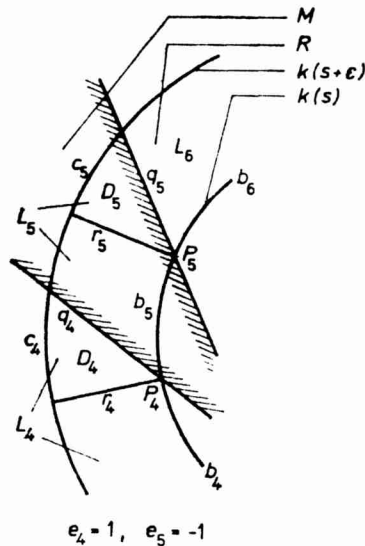


Abb. 2

also

$$A(\varepsilon) = \left( s\varepsilon + \frac{1}{2} \varepsilon^2 \right) \cdot \sum_{k=1}^n (\alpha_{2k} - \alpha_{2k-1}) + 2\eta \cdot \sum_{i=1}^{2n} e_i D_i.$$

Wird jetzt auch der Fall zugelassen, daß die Randkurven von  $M$  und  $K(s)$  gemeinsame Punkte haben, in denen sie sich nicht durchsetzen (Abb. 3), so zähle man diese Punkte zweifach, also jeweils als Anfangspunkt  $P_{i-1}$  und Endpunkt  $P_i = P_{i-1}$  eines leeren Bogens  $b_i$ . Dann läßt sich für genügend kleines  $|\varepsilon|$  ebenfalls wieder der Kreisring  $R$  in  $2n$  Gebiete  $L_i$  zerlegen, abwechselnd innerhalb und außerhalb  $M$  gelegen und jeweils  $L_i$  an  $b_i$  angrenzend, und zwar folgendermaßen: Für die  $P_i$ , in denen die Randkurven von  $M$  und  $K(s)$  sich durchsetzen, werden wieder die von  $P_i$  ausgehenden, in  $R$  gelegenen Teilstrecken  $q_i$  des Randes von  $M$  zur Abgrenzung zwischen  $L_i$  und  $L_{i+1}$  verwendet. Ist dagegen  $P_{i-1} = P_i$  ein Punkt, den die Randkurven von  $M$  und  $K(s)$  gemeinsam haben, ohne sich in ihm zu durchsetzen, so gibt es zwei Möglichkeiten:

a) Es kann sein, daß vom Punkt  $P_{i-1} = P_i$  aus zwei Teilstrecken  $q_{i-1}, q_i$  des Randes von  $M$  in den Kreisring  $R$  hineinführen. Dann grenzen diese (für genügend kleines  $|\varepsilon|$ ) ein Teilstück  $L_i$  des Ringes  $R$  von den beiden Nachbarstücken  $L_{i-1}$  und  $L_{i+1}$  ab. Wie oben können die  $r_i, c_i$  und  $D_i$  definiert werden; jedoch kann von  $D_{i-1}$  nur die Forderung erfüllt werden, entweder ganz in  $L_{i-1}$  oder ganz in  $L_i \cup L_{i+1}$  zu liegen, und ebenso von  $D_i$ , entweder ganz in  $L_{i-1} \cup L_i$  oder ganz in  $L_{i+1}$  zu liegen. Liegt  $D_{i-1}$  in  $L_i \cup L_{i+1}$ , aber nicht nur in  $L_i$ , so liegt  $D_i$  in  $L_{i+1}$ , und an die Stelle der Disjunktheitsforderung  $D_{i-1} \cap D_i = \emptyset$  tritt die Zerlegung  $D_{i-1} = L_i + D_i$ . Liegt  $D_i$  in  $L_{i-1} \cup L_i$ , aber nicht

nur in  $L_i$ , so liegt  $D_{i-1}$  in  $L_{i-1}$ , und an die Stelle von  $D_{i-1} \cap D_i = \emptyset$  tritt  $D_i = D_{i-1} + L_i$ . Daher bleiben auch in diesen Fällen (mit den entsprechenden  $\alpha_i = 0$  und mit jeweils geeigneten Vorzeichen  $e_{i-1}, e_i$ ) die obigen Formeln für  $L_{2k}, L_{2k-1}$  und  $A(\varepsilon)$  gültig.

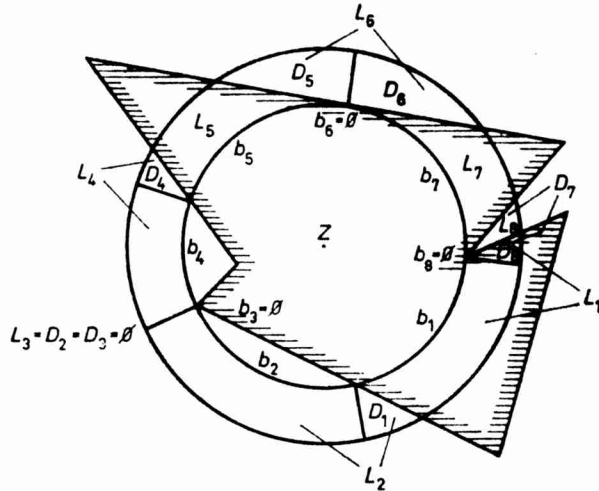


Abb. 3

$e_1$	$e_2$	$e_3$	$e_4$	$e_5$	$e_6$	$e_7$	$e_8$
1	bellebig	1	1	1	1	1	-1

b) Es kann nun noch sein, daß vom Punkt  $P_{i-1} = P_i$  aus keine Teilstrecke des Randes von  $M$  in den Kreisring  $R$  hineinführt. Dann wähle man  $r_{i-1} = r_i = q_{i-1} = q_i$  als die in radialer Richtung von  $P_{i-1} = P_i$  ausgehende,  $R$  durchquerende Strecke und übertrage die weiteren Definitionen, wobei  $L_i, D_{i-1}$  und  $D_i$  zu  $\emptyset$  entarten, so daß wieder die obigen Formeln gültig bleiben (mit  $\alpha_i = 0$  und sogar beliebigen Vorzeichen  $e_{i-1}, e_i$ ).

Nun sei für jedes  $i = 1, \dots, 2n$  der Winkel zwischen  $q_i$  und dem zu  $P_i$  hinführenden Radius  $\beta_i$  genannt, wobei  $\beta_i$  im Fall  $\varepsilon > 0$  durch  $\frac{\pi}{2} \leq \beta_i \leq \pi$ , im Fall  $\varepsilon < 0$  durch  $0 \leq \beta_i < \frac{\pi}{2}$  eingeschränkt wird (Abb. 4). Ferner sei  $\varphi_i$  der Zentriwinkel zu  $c_i$ .

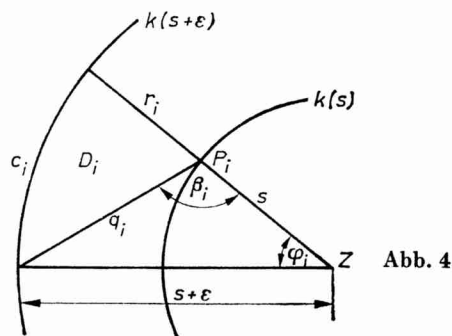


Abb. 4

Dann gilt

$$2\eta \cdot D_i = (s + \varepsilon)^2 \cdot \varphi_i - s(s + \varepsilon) \cdot \sin \varphi_i$$

sowie

$$(s + \varepsilon) \cdot \sin(\pi - \beta_i - \varphi_i) = s \cdot \sin \beta_i.$$

Dabei ist, solange  $\varepsilon (\neq 0, |\varepsilon|$  genügend klein) über Werte von einheitlichem Vorzeichen  $\eta$  variiert,  $\beta_i$  konstant, und es gilt  $\lim_{\varepsilon \rightarrow 0} \varphi_i = 0$ . Somit erhält man im Fall  $\beta_i \neq \frac{\pi}{2}$  für die betreffende einseitige Limesbildung  $\varepsilon \rightarrow \eta 0$

$$-\lim_{\varepsilon \rightarrow \eta 0} \frac{d\varphi_i}{d\varepsilon} = \frac{1}{s} \cdot \tan \beta_i.$$

Ist jedoch  $\beta_i = \frac{\pi}{2}$  (also  $\eta = 1$ ), so gilt

$$2D_i = (s + \varepsilon)^2 \cdot \arccos \frac{s}{s + \varepsilon} - s \sqrt{2s\varepsilon + \varepsilon^2}.$$

Damit ergibt sich in jedem Fall

$$\lim_{\varepsilon \rightarrow 0} \frac{dD_i}{d\varepsilon} = 0,$$

also

$$\lim_{\varepsilon \rightarrow 0} \Delta'(\varepsilon) = s \sum_{k=1}^n (\alpha_{2k} - \alpha_{2k-1}) = \sum_{k=1}^n b_{2k} - \sum_{k=1}^n b_{2k-1}.$$

Aus  $\lim_{\varepsilon \rightarrow 0} \Delta'(\varepsilon) = 0$  folgt somit nach Definition der  $b_i$  die Behauptung, daß  $K(s)$  durch  $M$  umfangshalbiert wird. Damit ist Satz 1 bewiesen. Die Umfangshalbierung ist, wie der Beweis zeigt, sogar notwendig und hinreichend für stationäres Verhalten der Funktion  $F(s)$ .

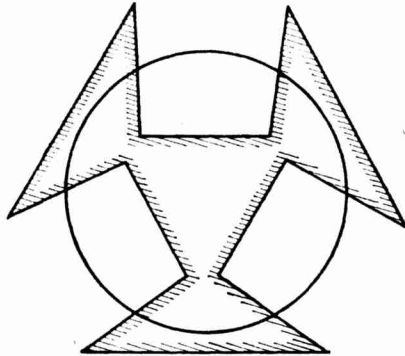


Abb. 5

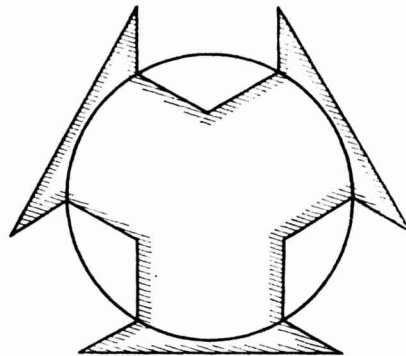


Abb. 6

In Abb. 5 und 6 sind noch, wie angekündigt, zwei Beispiele ersichtlich, bei denen in einer konzentrischen Kreisschar  $S$  für einen Wert  $s^*$  des Radius einerseits Umfangshalbierung des Kreises  $K(s^*)$  durch  $M$  und folglich stationäres Verhalten von  $F(s)$  an der Stelle  $s^*$  vorliegt, aber andererseits bei Abb. 5 in Gestalt eines lokalen Maximums, bei Abb. 6 mit streng monoton fallendem Durchgang durch  $s^*$ . Auch Beispiele mit streng monoton steigendem Durchgang oder in einem Intervall konstanten Verlauf von  $F(s)$  lassen sich nach diesem Muster leicht konstruieren.

### 3. Der Halbierungssatz für symmetrische Differenz von Ovalen

Es sei  $M$  ein Oval. Dann hat  $M$  bekanntlich (s. etwa [5]) eine Randkurve  $c$ , die in jedem ihrer Punkte die beiden einseitigen Tangenten besitzt. Ferner folgt leicht: Ist  $Z$  ein innerer Punkt von  $M$  und wählt man ein  $\varphi, r$ -Polarkoordinatensystem mit dem Anfangspunkt  $Z$ , so gibt es eine Funktion

$$r = \varrho(\varphi) \quad (\varphi \in [0, 2\pi], \varrho(0) = \varrho(2\pi), \varrho(\varphi) > 0 \text{ für alle } \varphi \in [0, 2\pi]),$$

die die Randkurve  $c$  beschreibt. Denkt man sich  $\varrho(\varphi)$  periodisch fortgesetzt und damit auch 0 und  $2\pi$  als innere Werte des Definitionsbereiches aufgefaßt, so besitzt  $\varrho(\varphi)$  an jeder Stelle  $\varphi$  des Definitionsbereiches die beiden einseitigen Ableitungen.

Ebenso folgt, wenn  $K(1)$  ab jetzt als Oval vorausgesetzt wird: Es gibt eine Funktion

$$r = \sigma(\varphi) \quad (\varphi \in [0, 2\pi], \sigma(0) = \sigma(2\pi), \sigma(\varphi) > 0 \text{ für alle } \varphi \in [0, 2\pi]),$$

die die Randkurve  $k(1)$  von  $K(1)$  beschreibt. Auch  $\sigma(\varphi)$  besitzt an jeder Stelle  $\varphi$  des Definitionsbereiches die beiden einseitigen Ableitungen.

Insbesondere ist  $\sigma(\varphi)$  stetig, so daß sich statt des Parameters  $\varphi$  der doppelte Flächeninhalt eines Sektors aus  $K(1)$  als Parameter einführen läßt: Es existiert

$$t = t(\varphi) = \int_0^\varphi \sigma(u)^2 du \quad (\varphi \in [0, 2\pi])$$

als streng monoton steigende Funktion mit der Ableitung  $t'(\varphi) = \sigma(\varphi)^2$  und ist somit umkehrbar zu einer im  $t$ -Intervall  $[0, T]$  (mit  $T := t(2\pi)$ ) definierten, streng monoton steigenden Funktion  $\varphi = \varphi(t)$  mit überall positiver Ableitung  $\dot{\varphi}(t)$ . Hiermit entsteht für  $k(1)$  die Parameterdarstellung

$$k(1): \left\{ \begin{array}{l} \varphi = \varphi(t), \\ r = \sigma(\varphi(t)) \end{array} \right\} \quad (t \in [0, T]).$$

Mit demselben Parameter sei auch  $c$  dargestellt:

$$c: \left\{ \begin{array}{l} \varphi = \varphi(t), \\ r = \varrho(\varphi(t)) \end{array} \right\} \quad (t \in [0, T]).$$

(Geht weiterhin für reelles  $s > 0$  das Oval  $K(s)$  bzw. seine Randkurve  $k(s)$  aus  $K(1)$  bzw.  $k(1)$  durch Streckung mit dem Zentrum  $Z$  und dem Streckfaktor  $s$  hervor, so hat  $k(s)$  die Parameterdarstellung

$$k(s): \left\{ \begin{array}{l} \varphi = \varphi(t), \\ r = s\sigma(\varphi(t)) \end{array} \right\} \quad (t \in [0, T]).$$

Ein Punkt von  $k(s)$ , der sich hierbei aus einem Parameterwert  $t$  ergibt, liegt genau dann außerhalb  $M$ , wenn

$$s\sigma(\varphi(t)) > \varrho(\varphi(t)) \tag{*}$$

gilt. Definiert man

$$f(t) = \frac{\varrho(\varphi(t))}{\sigma(\varphi(t))} \quad (t \in [0, T]),$$

so ist folglich das Maß  $m(s)$  der Menge aller Parameterwerte  $t$  mit der Eigenschaft (\*) auch das Maß der Menge aller  $t$  mit

$$f(t) < s. \tag{**}$$



Unmittelbar evident ist hiernach:

- (1) *Bezeichnet  $a$  das Minimum und  $b$  das Maximum von  $f(t)$  im Intervall  $[0, T]$ , so gilt  $m(s) = 0$  für alle  $s$  mit  $0 < s \leq a$ ,  $m(s) = T$  für alle  $s$  mit  $s > b$ .*

Sodann zeigen wir für den Fall  $a < b$ :

- (2) *Im Intervall  $[a, b]$  ist  $m(s)$  streng monoton steigend.*

*Beweis.* Es sei  $a \leq s_1 < s_2 \leq b$ . Wegen der Stetigkeit von  $f$  und nach Definition von  $a, b$  gibt es ein Intervall  $j$  positiver Länge  $e$  so, daß  $s_1 < f(t) < s_2$  für alle  $t \in j$  gilt. Ferner gilt für alle übrigen  $t$  der Schluß  $f(t) < s_1 \Rightarrow f(t) < s_2$ . Die Intervalle außerhalb  $j$  liefern also zu dem Maß  $m(s_1)$  einen höchstens ebenso großen Beitrag wie zu dem Maß  $m(s_2)$ , das Intervall  $j$  dagegen liefert zu  $m(s_1)$  den Beitrag 0 und zu  $m(s_2)$  den Beitrag  $e$ . Daher gilt  $m(s_1) < m(s_2)$ .

Aus (1) und (2) erhält man in üblicher Weise, etwa durch Dedekindsche Schnittbildung, die folgende Existenz- und Eindeutigkeitsaussage zur abgeschwächten Parameterhalbierung:

- (3) *Es gibt genau ein  $s^*$  mit folgender Eigenschaft:  
Für alle  $s < s^*$  ist  $m(s) < \frac{1}{2} T$ , für alle  $s > s^*$  ist  $m(s) \geq \frac{1}{2} T$ .*

Wir wollen nun für Zahlen  $s_1, s_2$  mit  $s_1 < s_2$  Aussagen über die Werte  $F(s_i)$  des Flächeninhaltes  $F(s) := (M \cup K(s)) \setminus (M \cap K(s))$  herleiten, um schließlich die angekündigten Monotonieaussagen zu erhalten und damit Satz 2 zu beweisen. Zunächst betrachten wir zwei triviale Fälle:

- (4) *Im Intervall  $(0, a]$  ist  $F(s)$  streng monoton fallend.*

*Beweis.* Wenn  $0 < s_1 < s_2 \leq a$  ist, so gilt für alle  $t \in [0, T]$  erst recht  $s_1 < s_2 \leq f(t)$ , also  $s_1\sigma(\varphi(t)) < s_2\sigma(\varphi(t)) \leq \varrho(\varphi(t))$ . Daraus folgt  $K(s_1) \subset K(s_2) \subseteq M$ , also ist  $F(s_1) - F(s_2)$  der Flächeninhalt von  $K(s_2) \setminus K(s_1)$  und daher positiv.

- (5) *Im Intervall  $[b, +\infty)$  ist  $F(s)$  streng monoton steigend.*

Dies folgt entsprechend, indem man  $M \subseteq K(s_1) \subset K(s_2)$  nachweist.

Im Fall  $a \leq s_1 < s_2 \leq b$  sei

$$\begin{aligned} A &:= \{t \in [0, T] : s_2\sigma(\varphi(t)) \leq \varrho(\varphi(t))\}, \\ B &:= \{t \in [0, T] : s_1\sigma(\varphi(t)) \leq \varrho(\varphi(t)) < s_2\sigma(\varphi(t))\}, \\ C &:= \{t \in [0, T] : \varrho(\varphi(t)) < s_1\sigma(\varphi(t))\} \end{aligned}$$

gesetzt. Hierfür erhält man unter Beachtung der Definition von  $m(s)$  durch (\*):

- (6) *Das Intervall  $[0, T]$  ist in die disjunkten Mengen  $A, B, C$  zerlegt.  $C$  hat das Maß  $m(s_1)$ ,  $B$  hat das Maß  $m(s_2) - m(s_1)$ , und  $A$  hat das Maß  $T - m(s_2)$ .*

Die Bilder der Mengen  $A, B, C$  bei der Funktion  $\varphi(t)$  seien  $\varphi(A), \varphi(B), \varphi(C)$  genannt. Hiermit hat  $M \cup K(s_1)$  den doppelten Flächeninhalt

$$\begin{aligned} H_1 &= \int_0^T (\max(\varrho(\varphi(t)), s_1\sigma(\varphi(t))))^2 \dot{\varphi}(t) dt \\ &= \int_{\varphi(A)} \varrho(\varphi)^2 d\varphi + \int_{\varphi(B)} \varrho(\varphi)^2 d\varphi + \int_{\varphi(C)} s_1^2 \sigma(\varphi)^2 d\varphi. \end{aligned}$$

Ebenso hat  $M \cap K(s_1)$  den doppelten Flächeninhalt

$$G_1 = \int_{\varphi(A)} s_1^2 \sigma(\varphi)^2 d\varphi + \int_{\varphi(B)} s_1^2 \sigma(\varphi)^2 d\varphi + \int_{\varphi(C)} \varrho(\varphi)^2 d\varphi.$$

Weiter hat  $M \cup K(s_2)$  den doppelten Flächeninhalt

$$H_2 = \int_{\varphi(A)} \varrho(\varphi)^2 d\varphi + \int_{\varphi(B)} s_2^2 \sigma(\varphi)^2 d\varphi + \int_{\varphi(C)} s_2^2 \sigma(\varphi)^2 d\varphi$$

und  $M \cap K(s_2)$  den doppelten Flächeninhalt

$$G_2 = \int_{\varphi(A)} s_2^2 \sigma(\varphi)^2 d\varphi + \int_{\varphi(B)} \varrho(\varphi)^2 d\varphi + \int_{\varphi(C)} \varrho(\varphi)^2 d\varphi.$$

Zur weiteren Abkürzung setzen wir (Abb. 7)

$$\alpha = \int_{\varphi(A)} \sigma(\varphi)^2 d\varphi, \quad \beta = \int_{\varphi(B)} \sigma(\varphi)^2 d\varphi, \quad \gamma = \int_{\varphi(C)} \sigma(\varphi)^2 d\varphi,$$

$$\delta_1 = \int_{\varphi(B)} (\varrho(\varphi)^2 - s_1^2 \sigma(\varphi)^2) d\varphi, \quad \delta_2 = \int_{\varphi(B)} (s_2^2 \sigma(\varphi)^2 - \varrho(\varphi)^2) d\varphi.$$

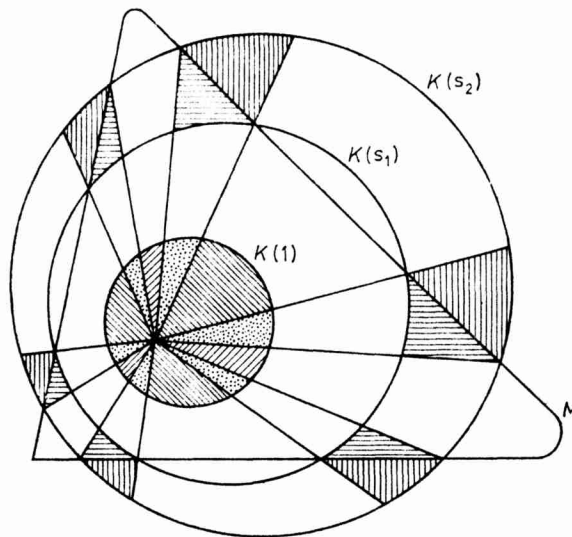
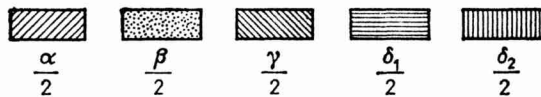


Abb. 7



Hiernach erhält man für  $2(F(s_2) - F(s_1))$  die Ausdrücke

$$2(F(s_2) - F(s_1)) = H_2 - G_2 - H_1 + G_1 = (s_2^2 - s_1^2) (\gamma - \alpha) + \delta_2 - \delta_1 \tag{I}$$

$$= (s_2^2 - s_1^2) (\gamma - \alpha + \beta) - 2\delta_1 \tag{II}$$

$$= (s_2^2 - s_1^2) (\gamma - \alpha - \beta) + 2\delta_2. \tag{III}$$

Die Zahlen  $\alpha, \beta, \gamma$  sind offensichtlich nichtnegativ, wir zeigen  $\delta_1, \delta_2 > 0$ :

Nach (2) und (6) hat  $B$  positives Maß. Ferner gibt es wegen  $a \leq s_1 < s_2 \leq b$  sowohl

Werte  $t$  mit  $f(t) < s_2$  als auch Werte  $t$  mit  $s_1 < f(t)$ . Hiernach gibt es in  $B$  nicht nur Intervalle, in denen überall  $\varrho(\varphi(t)) < s_2\sigma(\varphi(t))$  gilt, sondern auch Intervalle, in denen überall  $s_1\sigma(\varphi(t)) < \varrho(\varphi(t))$  gilt. Daraus folgt  $\delta_1, \delta_2 > 0$ .

Nun beweisen wir:

(7)  $F(s)$  ist in  $[a, b]$  stetig.

Beweis. Aus (I) folgt

$$\begin{aligned} 2|F(s_2) - F(s_1)| &\leq (s_2^2 - s_1^2)(\gamma + \alpha) + \delta_2 + \delta_1 \\ &= (s_2^2 - s_1^2) \int_0^{2\pi} \sigma(\varphi)^2 d\varphi = (s_2^2 - s_1^2) T, \end{aligned}$$

und dies wird bei genügend kleinem  $s_2 - s_1$  beliebig klein.

Ähnlich wie für das soeben genannte Integral erhalten wir auch Wertangaben für  $\alpha, \beta, \gamma$ : Nach der Einführung des Parameters  $t$  gilt nämlich für jedes  $t \in [0, T]$

$$\int_0^t \sigma(\varphi(t))^2 \dot{\varphi}(t) dt = \int_0^{\varphi(t)} \sigma(u)^2 du = t,$$

und daraus folgt nach (6)

$$\begin{aligned} \alpha &= \int_A \sigma(\varphi(t))^2 \dot{\varphi}(t) dt = T - m(s_2), \\ \beta &= \int_B \sigma(\varphi(t))^2 \dot{\varphi}(t) dt = m(s_2) - m(s_1), \\ \gamma &= \int_C \sigma(\varphi(t))^2 \dot{\varphi}(t) dt = m(s_1). \end{aligned}$$

Damit kommen wir zu den gewünschten Monotonieaussagen:

(8)  $F(s)$  ist in  $[a, s^*]$  streng monoton fallend.

Beweis. Aus  $a \leq s_1 < s_2 < s^*$  und (3) folgt  $m(s_2) < \frac{1}{2} T$ , nach (II) also

$$2(F(s_2) - F(s_1)) < (s_2^2 - s_1^2)(\gamma - \alpha + \beta) = (s_2^2 - s_1^2)(2m(s_2) - T) < 0.$$

(9)  $F(s)$  ist in  $(s^*, b]$  streng monoton steigend.

Beweis. Aus  $s^* < s_1 < s_2 \leq b$  und (3) folgt  $\frac{1}{2} T \leq m(s_1)$ , nach (III) also

$$2(F(s_2) - F(s_1)) > (s_2^2 - s_1^2)(\gamma - \alpha - \beta) = (s_2^2 - s_1^2)(2m(s_1) - T) \geq 0.$$

Aus (8), (9) und (7) folgt sogar

(10)  $F(s)$  ist in  $[a, s^*]$  streng monoton fallend,

(11)  $F(s)$  ist in  $[s^*, b]$  streng monoton steigend.

Mit (4), (10), (11), (5) ist die globale Minimaleigenschaft von  $F(s)$  an der Stelle  $s^*$  und damit Satz 2 bewiesen.

#### 4. Variable Streck- bzw. Halbierungszentren

Es seien  $M$  und  $K$  zwei Ovale mit endlichem Ränderdurchschnitt. Bei einer Durchlaufung des Randes von  $K$  seien diejenigen Schnittpunkte mit dem Rand von  $M$ , in denen diese Randkurven sich durchsetzen, der Reihe nach mit  $P_1, P_2, \dots$  bezeichnet. Dann zerlegen diese Punkte den Rand von  $K$  in eine gerade Anzahl  $2n$  von Bogenstücken, die abwechselnd innerhalb und außerhalb von  $M$  liegen; dabei habe jeweils  $b_i$  den Endpunkt  $P_i$  ( $i = 1, \dots, 2n$ ), und es liegen etwa  $b_1, b_3, \dots$  innerhalb  $M$ , aber  $b_2, b_4, \dots$  außerhalb  $M$ . (Anders als in Abschnitt 2 bleiben hier also gemeinsame Randpunkte, bei denen keine Durchsetzung vorliegt, unberücksichtigt.)

Es sei nun angenommen, daß zwei verschiedene Punkte  $Z_m$  ( $m = 1, 2$ ) des Inneren  $J$  von  $M \cap K$  Halbierungszentren von  $K$  bezüglich  $M$  sind. Bezeichnet dann  $S_{i,m}$  den zum Bogen  $b_i$  gehörenden Sektor aus  $K$  mit dem Zentrum  $Z_m$ , so ist jeweils die Summe

$$\Phi_m := \sum_{k=1}^n S_{2k,m}$$

gleich dem halben Flächeninhalt von  $K$  ( $m = 1, 2$ ). Bezeichnet ferner  $G_i$  das zum Bogen  $b_i$  gehörende Segment aus  $K$ , so ist

$$S_{2k,m} = Z_m P_{2k-1} P_{2k} + G_{2k} \quad (k = 1, \dots, n; m = 1, 2),$$

wobei der Dreiecksinhalt  $Z_m P_{2k-1} P_{2k}$  orientiert zu nehmen ist, und zwar so, daß er positiv für den Fall wird, in dem  $Z_m$  im Innern des Polygons  $P_1 P_2 \dots P_{2n}$  liegt.

Ferner sei  $Z_0$  ein variabler Punkt in  $J$ , für ihn seien die eingeführten Bezeichnungen mit  $m = 0$  verwendet. Da die  $G_{2k}$  von  $Z_m$  unabhängig sind, folgt dann, daß jedes einzelne  $S_{2k,0}$  und folglich auch die Summe  $\Phi_0$  eine lineare Funktion der Koordinaten von  $Z_0$  ist. Da diese nun für  $Z_1$  und  $Z_2$  denselben Wert hat, ist sie auf der gesamten Geraden  $g$  durch  $Z_1, Z_2$  konstant. Also sind alle Punkte  $Z_0 \in g \cap J$  ebenfalls Halbierungszentren von  $K$  bezüglich  $M$ .

Daraus ergibt sich die in Abschnitt 1 vor Satz 3 angegebene Beschreibung der Menge  $H$  aller Halbierungszentren, und unter Berücksichtigung von Satz 2 erhält man Satz 3.

#### LITERATUR

- [1] DINGHAS, A.: Über das Verhalten der Entfernung zweier Punktmengen bei gleichzeitiger Symmetrisierung derselben. *Archiv Math.* 8 (1957), 46–51.
- [2] KOCH, R. A., und L. STAMMLER: Die Darstellung statistischer Kluftrmessungen in flächengleichen Netzen und ihr Vergleich zu herkömmlichen Darstellungsarten. *Geologie* 17 (1968), 1003–1030.
- [3] KRÖTENHEERDT, M.: Existenz und Berechnung eines flächengleichen Netzes auf der Kugel mit „möglichst kreisförmigen“ Netzmaschen. Staatsexamensarbeit, Pädagogische Hochschule Potsdam 1969.
- [4] STAMMLER, L.: Ein Übertragungsnetz zur Kluftrstatistik. *Engineering Geology* 5 (1971), 291–312.
- [5] STRUBECKER, K.: Differentialgeometrie I, 2. Aufl., Sammlung Götschen Bd. 1113/1113a, W. de Gruyter, Berlin 1964.

Manuskripteingang: 10. 1. 1977

#### VERFASSER:

LUDWIG STAMMLER, Sektion Mathematik der Martin-Luther-Universität  
Halle – Wittenberg

BERNULF WEISSBACH, Sektion Mathematik/Physik der Technischen Hochschule  
„Otto von Guericke“ Magdeburg

